

# $\text{mod } 2^n$ 상에서의 덧셈에 대한 양자 덧셈기 자원 비교

임세진, 장경배, 양유진, 오유진, 서화정

한성대학교 IT융합공학부

# Contents

01. 서론

02. 양자 덧셈기

03. mod  $2^n$ 에서의 양자 덧셈기 자원 비교

04. 결론



# 01. 서론

- 양자컴퓨터 상에서의 암호의 보안강도 추정 필요

→ NIST는 AES와 SHA2, SHA3에 대한 양자 공격 회로에 요구되는 비용을 기준으로, A 암호를 양자 공격 회로를 통해 해킹하는 비용과 비교하여 해당 암호의 보안강도를 추정함

- 이를 위해서 **암호를 양자회로로 구현해야하며**, 회로를 최적화하여 구현에 사용되는 양자 자원을 최소화할수록 해킹 비용도 감소하게 됨

- 암호 알고리즘에 사용되는 덧셈과 같은 기본 연산도 양자회로로 구현되어야 함
- 암호 알고리즘에서 사용되는 덧셈 연산은 주로 최상위 비트 캐리를 고려하지 않는  $\text{mod } 2^n$ 상에서의 덧셈임 (ex. 32-bit + 32-bit = 32-bit)

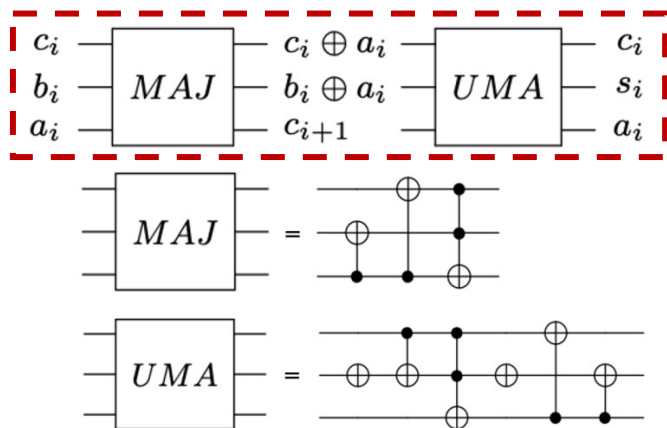
- 본 논문에서는 **다양한 양자 덧셈기를  $\text{mod } 2^n$ 상에서 구현하고, 덧셈에 사용되는 양자 자원에 대한 비교를 수행**하고자 함

→ 이러한 비교는 Trade off 관계인 큐비트 수와 회로 깊이 측면에서 **회로의 최적화 방향에 따른 덧셈기 식별에 유용할 것**으로 사료됨

## 02. 양자 덧셈기

- 양자 덧셈기는 다항 깊이를 가지는 Ripple-carry 덧셈기와 대수 깊이를 가지는 Carry-lookahead 덧셈기로 나눌 수 있음 (Carry-lookahead 덧셈기는 캐리 연산을 병렬로 수행함으로써 대수 깊이를 갖게 됨)
- 덧셈 결과를 저장하는 위치에 따라 in-place 구현과 out-of-place 구현이 있음
  - In-place : 피연산자 중 하나에 저장 (주로  $b$ 에 저장)
  - Out-of-place : 입력받은 결과용 큐비트에 저장 (피연산자의 값은 덧셈 전과 동일하게 유지)
- 일반적으로  $n$ -bit 크기의 두 피연산자의 덧셈 결과는 최상위 캐리 비트를 고려하여  $(n + 1)$ -bit가 되지만, 본 논문에서는  $\text{mod } 2^n$ 의 덧셈을 다루고자 하므로, 덧셈기 회로 알고리즘을 일부 수정함

## 02. 양자 덧셈기



**Algorithm 1** : Cuccaro adder (Addition mod  $2^n$ )

Input:  $A_i = a_i$ ,  $B_i = b_i$ ,  $X=0$

Output:  $A_i = a_i$ ,  $B_i = s_i$ ,  $X=0$

```

1: for  $i=1$  to  $n-2$ :  $B_i \oplus = A_i$ 
2:  $X \oplus = A_1$ 
3:  $X \oplus = A_0 B_0$  ;  $A_1 \oplus = A_2$ 
4:  $A_1 \oplus = X B_1$  ;  $A_2 \oplus = A_3$ 
5: for  $i=2$  to  $n-3$ :
6:    $A_i \oplus = A_{i-1} B_i$  ;  $A_{i+1} \oplus = A_{i+2}$ 
7:    $A_{n-3} \oplus = A_{n-4} B_{n-3}$  ;  $B_{n-1} \oplus = A_{n-2}$ 
8:    $B_{n-1} \oplus = A_{n-3} B_{n-2}$  ; for  $i=1$  to  $n-3$ :  $NOT(B_i)$ 
9:    $B_1 \oplus = X$  ; for  $i=2$  to  $n-2$ :  $B_i \oplus = A_{i-1}$ 
10:   $A_{n-3} \oplus = A_{n-4} B_{n-3}$ 
11: for  $i=n-4$  down to 2:
12:    $A_i \oplus = A_{i-1} B_i$  ;  $A_{i+1} \oplus = A_{i+2}$  ;  $NOT(B_{i+1})$ 
13:   $A_1 \oplus = X B_1$  ;  $A_2 \oplus = A_3$  ;  $NOT(B_2)$ 
14:   $X \oplus = A_0 B_0$  ;  $A_1 \oplus = A_2$  ;  $NOT(B_1)$ 
15:   $X \oplus = A_1$ 
16: for  $i=0$  to  $n-1$ :  $B_i \oplus = A_i$ 
    
```

알고리즘 1. 수정된 Cuccaro mod  $2^n$  덧셈기 알고리즘 ( $n \geq 4$ )

### Cuccaro 덧셈기 (CDKM)

- 0으로 초기화된 하나의 보조 큐비트  $x$ 를 초기 캐리 비트로 사용하여 덧셈 수행
- In-place 형태의 Ripple-carry 덧셈기로, MAJ 게이트와 UMA 게이트로 구성됨
  - MAJ 게이트에서 수행한 연산을 UMA 게이트에서 해제하여 초기값으로 되돌리고, 덧셈 결과를  $b$ 에 저장함
  - 이때 보조 큐비트도 초기 값으로 되돌아가기 때문에 덧셈 연산 이후에도 재사용 가능
- 논문에서 제안한 덧셈기 알고리즘을 **mod  $2^n$  회로로 수정**
  - $n$ -bit 덧셈 대신  **$(n - 1)$ -bit 덧셈**을 기존 알고리즘대로 구현
  - 최상위 캐리 비트 저장용인 **보조 큐비트  $z$  사용**  $X \rightarrow z$ 에 적용되는 연산을 **최상위 비트인  $B_{n-1}$** 에 적용
  - $B_{n-1} \oplus A_{n-1}$  연산 추가  $\leftarrow (n - 1)$ -bit 덧셈 시에는 최상위 비트의 합은 구해지지 않기 때문
    - 해당 연산을 삽입하는 위치에 따라 연산이 병렬로 수행되지 못해 depth가 커질 수 있어 맨 마지막에 하위 비트 연산들과 함께 수행되도록 함

## 02. 양자 덧셈기

Algorithm 2 : mod  $2^n$  Draper adder (out-of-place)

Input:  $A_i = a_i, B_i = b_i, Z_i = 0, ancilla_k = 0$

Output:  $A_i = a_i, B_i = b_i, Z_i = s_i, ancilla_k = 0$

```
1: for  $i=0$  to  $n-2$ :  $Z_{i+1} \oplus = A_i B_i$ 
2: for  $i=1$  to  $n-2$ :  $B_i \oplus = A_i$ 
3:  $P, G, C, P^{-1}$ -rounds  $< n \rightarrow (n-1) >$ 
4: for  $i=0$  to  $n-2$ :  $Z_i \oplus = B_i$ 
5:  $Z_0 \oplus = A_0$  ; for  $i=1$  to  $n-2$ :  $B_i \oplus = A_i$ 
6:  $Z_{n-1} \oplus = A_{n-1}$  ;  $Z_{n-1} \oplus = B_{n-1}$ 
```

알고리즘 2. 수정된 out-of-place Draper 덧셈기 알고리즘

Algorithm 3 : mod  $2^n$  Draper adder (in-place)

Input:  $A_i = a_i, B_i = b_i, ancilla1_{i-1} = 0, ancilla2_k = 0$

Output:  $A_i = a_i, B_i = s_i, ancilla1_{i-1} = 0, ancilla2_k = 0$

```
1: for  $i=0$  to  $n-2$ :  $ancilla1_i \oplus = A_i B_i$ 
2: for  $i=0$  to  $n-1$ :  $B_i \oplus = A_i$ 
3:  $P, G, C, P^{-1}$ -rounds  $< n \rightarrow (n-1) >$ 
4: for  $i=1$  to  $n-1$ :  $B_i \oplus = ancilla1_{i-1}$ 
5: for  $i=0$  to  $n-2$ :  $NOT(B_i)$ 
6: for  $i=1$  to  $n-2$ :  $B_i \oplus = A_i$ 
7: line 3 reverse
8: for  $i=1$  to  $n-2$ :  $B_i \oplus = A_i$ 
9: for  $i=0$  to  $n-2$ :  $ancilla1_i \oplus = A_i B_i$ 
10: for  $i=0$  to  $n-2$ :  $NOT(B_i)$ 
```

알고리즘 3. 수정된 in-place Draper 덧셈기 알고리즘

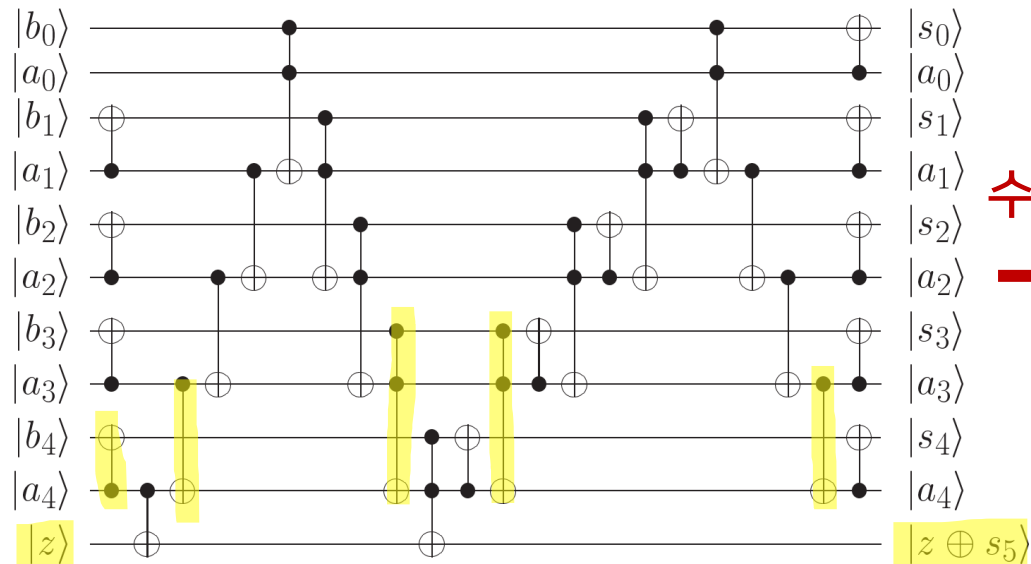
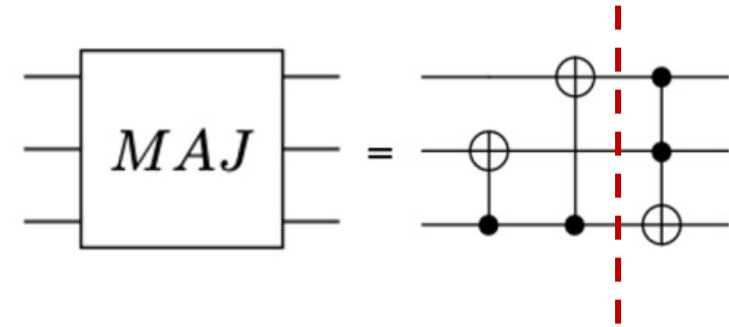
### Draper 덧셈기

- 대표적인 Carry-lookahead 덧셈기로, in-place와 out-of-place 회로를 모두 제시
- 캐리 연산을 병렬로 수행하기 위해 보조 큐비트가 사용됨 → 재사용 가능
  - in-place :  $-2 + 2n - w(n-1) - \lfloor \log(n-1) \rfloor$  개
  - out-of-place : in-place보다 1개의 보조 큐비트를 더 사용 (이 중 n개는 덧셈 결과를 저장하기 위한 큐비트이므로 이를 제외한 나머지만 재활용 가능)
- 캐리를 미리 계산하는 작업은 하위 비트의 캐리 값에 따른 캐리 발생 여부를 판단하는 P (Propagate) 연산과, 하위 비트의 캐리 값에 관계없이 반드시 캐리가 발생하는지 여부를 판단하는 G (Generate) 연산을 통해 수행
- Draper 덧셈기에서는 P, G, C,  $P^{-1}$  라운드를 통해, 연산을 수행하여 캐리를 병렬로 계산할 수 있도록 알고리즘을 구성

## 02. 양자 덧셈기

### Takahashi 덧셈기

- 보조 큐비트 없이 덧셈을 수행하도록 개선한 Ripple-carry 덧셈기
  - Cuccaro 덧셈기의 MAJ 게이트를 **두개의 CNOT 게이트로 구성된 부분**과 **Toffoli 게이트 부분**으로 나누어 적용함
- Cuccaro 덧셈기와 동일한 방식으로 알고리즘 수정



수정 결과  
→

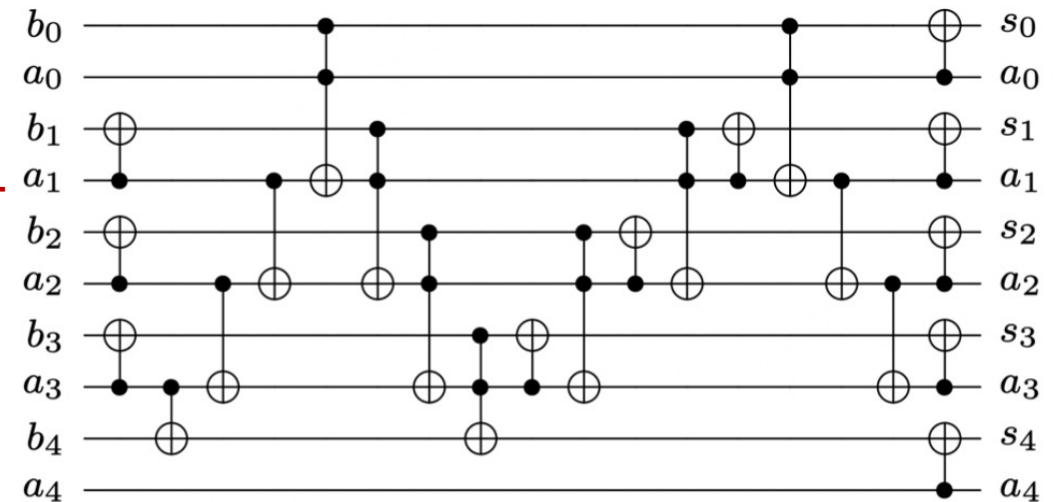


그림 2. mod  $2^5$ 에 대해 수정된 Takahashi 덧셈기 회로

## 03. mod $2^n$ 에서의 양자 덧셈기 자원 비교

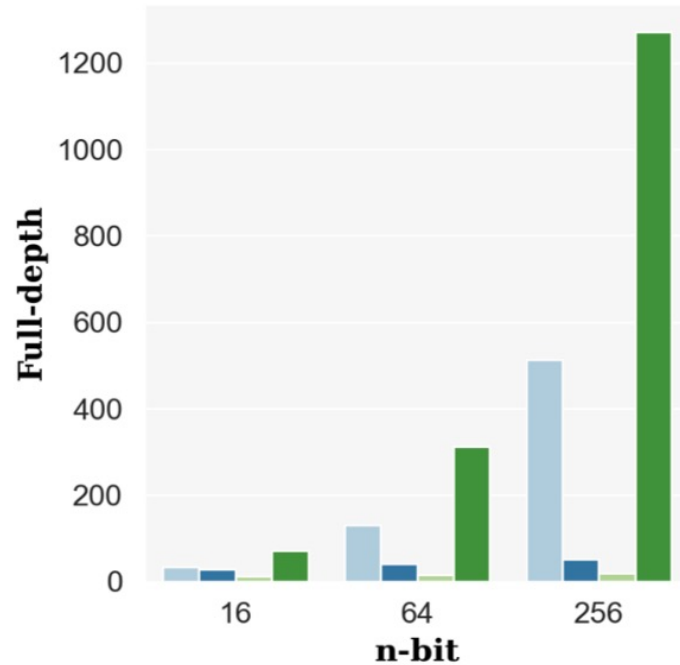
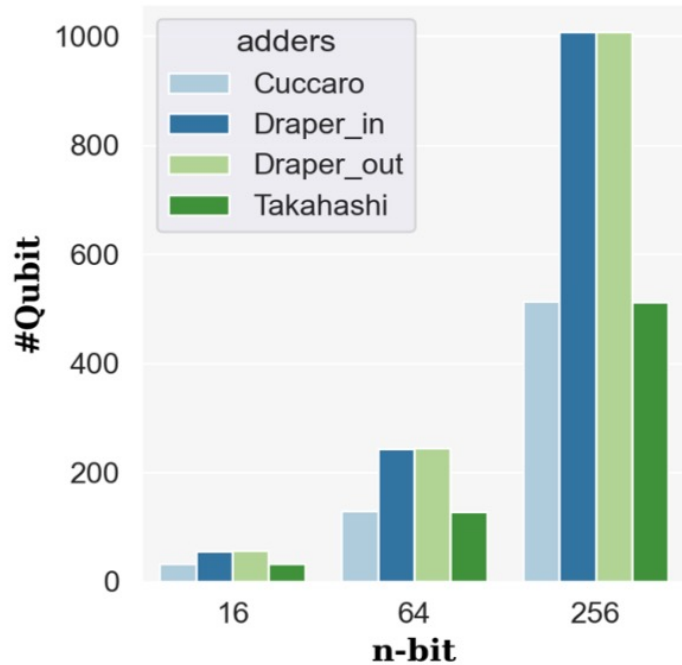
- mod  $2^n$ 상의 수정된 양자 덧셈기 회로에 사용되는 양자 자원에 대한 비교
  - 3가지 양자 덧셈기를 통한 비트 덧셈에 사용되는 큐비트 수, CNOT 게이트 수, Toffoli 게이트 수, Toffoli-depth, Full-depth
  - 정확한 수치를 확인할 수 있도록 수식으로 정리함

Adder		#Qubit	#CNOT	#Toffoli	Toffoli-depth	Full-depth
Cuccaro [2]		$2n + 1$	$5n - 7$	$2n - 3$	$2n - 3$	$2n + 2$
Draper [3]	in	$-2 + 4n - w(n-1) - \lfloor \log(n-1) \rfloor$	$4n - 5$	$-12 + 10n - 6w(n-1) - 6 \lfloor \log(n-1) \rfloor$	$7 + 2 \lfloor \log(n-1) \rfloor + 2 \left\lfloor \log \frac{n-1}{3} \right\rfloor$	$14 + 2 \lfloor \log(n-1) \rfloor + 2 \left\lfloor \log \frac{n-1}{3} \right\rfloor$
	out	$-1 + 4n - w(n-1) - \lfloor \log(n-1) \rfloor$	$3n - 2$	$-6 + 5n - 3w(n-1) - 3 \lfloor \log(n-1) \rfloor$	$4 + \lfloor \log(n-1) \rfloor + \left\lfloor \log \frac{n-1}{3} \right\rfloor$	$7 + \lfloor \log(n-1) \rfloor + \left\lfloor \log \frac{n-1}{3} \right\rfloor$
Takahashi [4]		$2n$	$5n - 9$	$2n - 3$	$2n - 3$	$5n - 8$



## 03. mod $2^n$ 에서의 양자 덧셈기 자원 비교

- 그래프를 통한 주요 이점 비교 : Trade off 관계인 큐비트 수와 회로 깊이 측면에서 한눈에 이점을 비교
  - Ripple-carry 덧셈기인 Cuccaro와 Takahashi 덧셈기 : 큐비트를 적게 사용하는 반면, 높은 회로 depth
  - Carry-lookahead 덧셈기인 Draper 덧셈기 : 캐리 병렬 연산을 위해 큐비트 수가 비교적 많이 사용되지만, 병렬 연산으로 인해 낮은 회로 depth
- Takahashi 덧셈기는 보조 큐비트를 사용하지 않는 대신 Cuccaro 덧셈기보다 약 2.5배 높은 전체 깊이를 가지는 것을 알 수 있음



결론적으로 양자 회로 최적화 구현 시에 **큐비트 수를 최소화**하는 경우에는 Ripple-carry 덧셈기를, **회로 depth를 최소화하는 경우에는 Carry-lookahead 덧셈기**를 사용하는 것이 성능 개선에 유리할 것으로 판단

## 04. 결론

- 본 논문에서는 암호 알고리즘을 양자 회로로 구현하는 과정에서 주로 사용되는 상의 양자 덧셈기에 대해 살펴보고, 수정된 알고리즘 및 회로를 제시하였으며, 사용되는 양자 자원에 대한 비교를 수행하였음
- 해당 연구는 양자 회로의 최적화 방식에 따라 이점을 줄 수 있는 덧셈기를 식별하는데 유용할 것으로 사료됨

**Q & A**